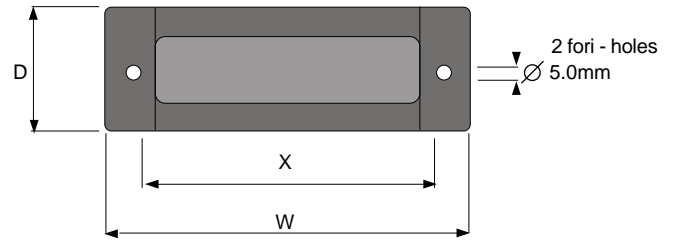
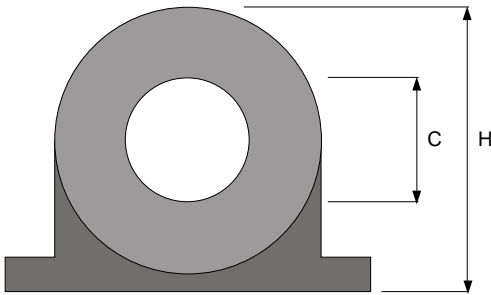


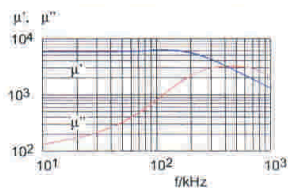
VISTA MECCANICA - MECHANICAL VIEW



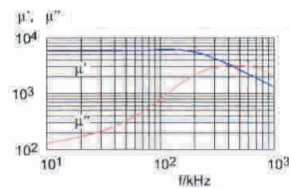
SIGLA PART NUMBER	CODICE CODE	POTENZA INDICATIVA INDICATIVE POWER (Kw)	C Ø FORO - HOLE (mm)	W (mm)	H (mm)	D (mm)	X (mm)
OC/1	7927	2,2	21	85	46	22	70
OC/2	7928	15	28,5	106	62	24	90

DATI TECNICI	TECHNICAL FEATURES	OC/1	OC2
Materiale	Material	K6000	K6000
Permeabilita' iniziale	Initial permeability	μ_i 6000E25%	μ_i 6000E25%
Densita' di flusso	Flux density	β_{max} 370mT	β_{max} 370mT
Intensita' di campo	Field strength	Hmax 800A/m	Hmax 800A/m
Densita' di flusso residua	Residual flux density	β_r 150mT	β_r 150mT
Forza coercitiva	Coercivity	H _c 8A/m	H _c 8A/m
Temperatura di Curie	Curie temperature	ϑ_c P130°C	ϑ_c P130°C
Isteresi del materiale	Hysteresis material	η_B 10 ⁻⁶ 1/mT	η_B 10 ⁻⁶ 1/mT
Coefficiente di disaccomodazione	Disaccomodation coefft	D _F 10 ⁻⁶ 1/mT	D _F 10 ⁻⁶ 1/mT
Resistività in Vcc	DC resistivity	ρ P0.5Ωm	ρ P0.5Ωm

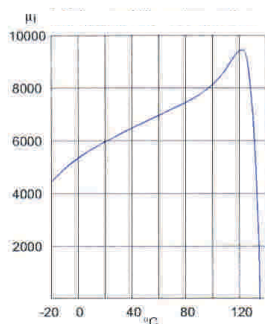
OC/1 variazione di permeabilita' in funzione della frequenza
OC/1 complex permeability vs. frequency



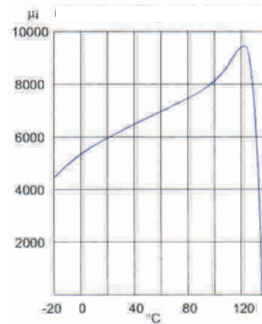
OC/2 variazione di permeabilita' in funzione della frequenza
OC/2 complex permeability vs. frequency



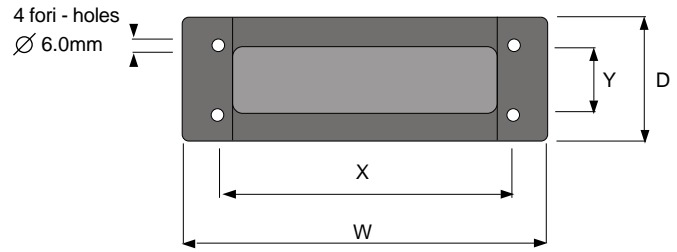
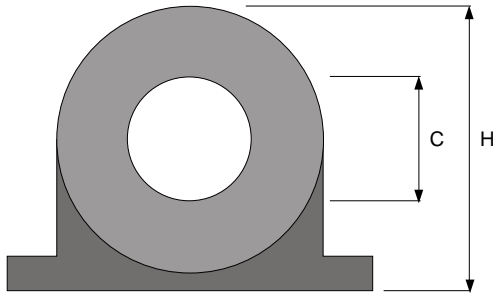
OC/1 variazione di permeabilita' in funzione della temperatura
OC/1 initial permeability vs. temperature



OC/2 variazione di permeabilita' in funzione della temperatura
OC/2 initial permeability vs. temperature



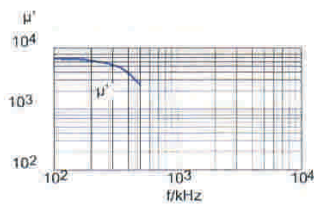
VISTA MECCANICA - MECHANICAL VIEW



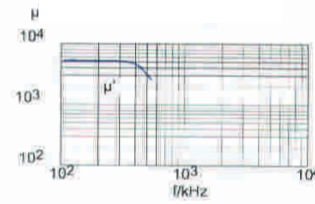
SIGLA PART NUMBER	CODICE CODE	POTENZA INDICATIVA INDICATIVE POWER (Kw)	C Ø FORO - HOLE (mm)	W (mm)	H (mm)	D (mm)	X (mm)	Y (mm)
OC/3	7929	45	50	150	112	50	125	x 30
OC/4	7930	>45	60	200	170	65	180	x 45

DATI TECNICI	TECHNICAL FEATURES	OC3	OC4
Materiale	Material	SR7K	SR5K
Permeabilita' iniziale	Initial permeability	μ_i 7000E20%	μ_i 5500E20%
Densita' di flusso	Flux density	β_{max} 400mT	β_{max} 420mT
Intensita' di campo	Field strength	H_{max} 800A/m	H_{max} 800A/m
Densita' di flusso residua	Residual flux density	β_r 150mT	β_r 150mT
Forza coercitiva	Coercivity	H_c 8A/m	H_c 8A/m
Temperatura di Curie	Curie temperature	ϑ_c P125°C	ϑ_c P135°C
Isteresi del materiale	Hysteresis material	η_B 10^{-6} 1/mT	η_B 10^{-6} 1/mT
Coefficiente di disaccomodazione	Disaccomodation coefft	D_F 10^{-6} 1/mT	D_F 10^{-6} 1/mT
Resistività in Vcc	DC resistivity	ρ P0.5Ωm	ρ P0.5Ωm

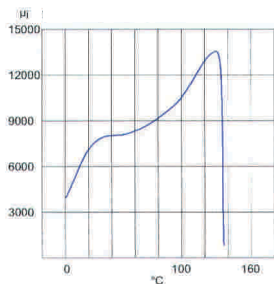
OC/3 variazione di permeabilita' in funzione della frequenza
OC/3 complex permeability vs. frequency



OC/4 variazione di permeabilita' in funzione della frequenza
OC/4 complex permeability vs. frequency



OC/3 variazione di permeabilita' in funzione della temperatura
OC/3 initial permeability vs. temperature



OC/4 variazione di permeabilita' in funzione della temperatura
OC/4 initial permeability vs. temperature

